

## КОНТАКТНА ВЗАЄМОДІЯ РОЗІМКНЕНИХ СТРИЖНІВ ЗМІННОЇ ЖОРСТКОСТІ З ЕЛІПТИЧНИМ ОТВОРОМ НЕСКІНЧЕННОЇ ОРТОТРОПНОЇ ПЛАСТИНКИ

*Розглянуто задачу про часткове підсилення еліптичного отвору в ортотропній пластині одним або двома центральносиметричними тонкими пружними ізотропними стрижнями змінної жорсткості. Подаючи компоненти деформації контура отвору пластинки у вигляді інтегральних залежностей від компонент напруженого стану, отримано систему двох сингулярних інтегрально-диференціальних рівнянь з ядрами Гільберта відносно контактних зусиль. Наближений числовий розв'язок системи реалізовано методом граничної колокації, яким визначено напружений стан на контурі отвору пластинки та в підсилювальних стрижнях і досліджено вплив на нього анізотропії матеріалу.*

### Умовні позначення

$T_\rho, S_{\rho\lambda}, T_\lambda$	- нормальні, дотичні та кільцеві зусилля на контурі отвору;
$V_\lambda$	- поздовжня сила в підсилювальному стрижні;
$\varepsilon_\lambda$	- відносна осьова пружна деформація контура отвору;
$V$	- кут пружного повороту нормалі до контура отвору;
$E_x, \nu_x$	- модуль Юнга і коефіцієнт Пуассона матеріалу пластинки в напрямі осі $Ox$ ;
$E_0 F(s)$	- змінна жорсткість стрижня на розтяг або стиск;
$s$	- дуга на контурі отвору;
$\tilde{\rho}$	- радіус кривини контура отвору.

Пластинки з отворами, технологічними вирізами, які є концентраторами напружень, знаходять широке застосування в сучасних машинах та інженерних конструкціях. Часткове підсилення отворів тонкими пружними елементами дозволяє зменшити концентрацію напружень і збільшити жорсткість конструкції [1, 2]. Ця проблема стала особливо актуальною в зв'язку з розробкою і удосконаленням нових композиційних матеріалів, а її розв'язання вимагає залучення більш досконалих методів визначення напруженого стану пластинчастих конструкцій з ребрами жорсткості.

Задачі про часткове симетричне підсилення кругового отвору в ортотропній пластинці розглянуто в роботах [2, 3], де методом колокації досліджено вплив ортотропії матеріалу і жорсткості підсилювальних елементів сталого перерізу на напружений стан пластинки.

В даній статті пропонується розв'язок задачі про часткове підсилення еліптичного отвору в ортотропній пластинці одним або двома центральносиметричними стрижнями загального положення і змінної жорсткості.

**Постановка задачі. Вивід основних рівнянь.** Розглянемо нескінченну ортотропну пластинку товщиною  $2h$  з еліптичним отвором контур якого  $\Gamma$  на частині  $\Gamma_1$  підсилений одним або двома однаковими симетричними відносно центра отвору пружними ізотропними стрижнями змінної жорсткості загального положення.

У випадку підсилення контура  $\Gamma$  одним стрижнем  $\Gamma_1 \equiv [\alpha_0^*; \beta_0^*]$ , де  $\alpha_0^*, \beta_0^*$  – полярні кути торців підсилення. Якщо контур  $\Gamma$  підсилений двома стрижнями, то  $\Gamma_1 \equiv [\alpha_0^*; \beta_0^*] \cup [\pi + \alpha_0^*; \pi + \beta_0^*]$ . Стрижні будемо моделювати пружними лініями змінної жорсткості на розтяг-стиск  $E_0 F(s)$ . Жорсткістю стрижнів на згин нехтуємо.

Середня площина пластинки віднесена до прямокутної системи координат  $Oxy$ , координатні осі якої співпадають осями еліпса. Вісь полярної системи координат  $(r, \delta)$  з полюсом в центрі отвору співпадає з віссю  $Ox$  і визначає один із головних напрямів ортотропії матеріалу пластинки.

Пластинка перебуває в умовах розтягу або стиску рівномірно розподіленими зусиллями  $p$  і  $q$ , що діють в напрямках координатних осей і прикладені „на нескінченності” (рис. 1).

Розв’язування задачі передбачає визначення напруженого стану на контурі отвору пластинки і в підсилювальних стрижнях.

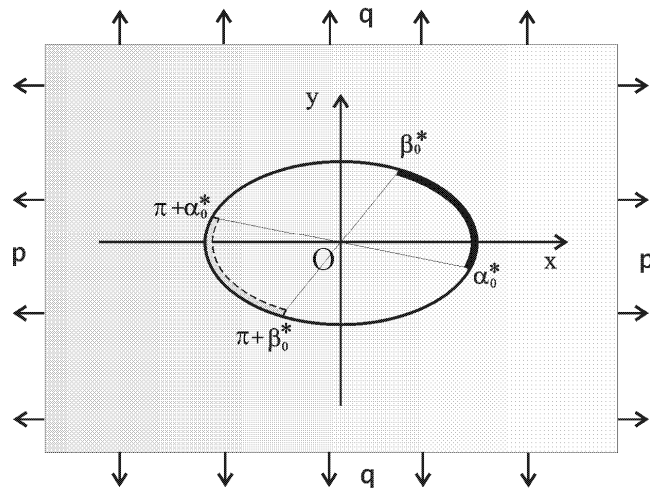


Рис. 1. Розрахункова схема задачі

Умовно відділивши стрижні від пластинки і замінивши їх дію невідомими контактними зусиллями  $T_\rho$  та  $S_{\rho\lambda}$ , приходимо до першої основної граничної задачі для ортотропної пластинки з еліптичним отвором [3, 4], розв’язок якої приводить до співвідношень

$$\varepsilon_\lambda^* = \frac{1}{2E_x h} \left\{ c_1 T_\rho^*(\lambda) + \frac{c_2 N}{\pi} \oint_\gamma J^*(t, \lambda) dt - \frac{c_3 N}{\pi} \oint_\gamma J^*(t, \lambda) dt + \tilde{\varepsilon}_\lambda^0 \right\}; \quad (1)$$

$$V^* = \frac{1}{2E_x h} \left\{ c_1 S_{\rho\lambda}^*(\lambda) + \frac{c_3 N}{\pi} \oint_\gamma I^*(t, \lambda) dt + \frac{c_4 N}{\pi} \oint_\gamma J^*(t, \lambda) dt + \tilde{V}^0 \right\}.$$

Тут введено позначення  $N = \begin{cases} 1, & \text{підсилення одним стрижнем;} \\ 2, & \text{підсилення двома стрижнями;} \end{cases}$

$$c_1 = \beta_1 \beta_2 - \nu_x; \quad c_2 = \frac{\beta_1 + \beta_2}{2} [(1 - \beta_1 \beta_2) \cos^2 \lambda - 1]; \quad c_3 = \frac{\beta_1 + \beta_2}{2} (1 - \beta_1 \beta_2) \cos \lambda \sin \lambda;$$

$$c_4 = \frac{\beta_1 + \beta_2}{2} [(1 - \beta_1 \beta_2) \sin^2 \lambda - 1]; \quad T_\rho^* + i S_{\rho\lambda}^* = (T_\rho + i S_{\rho\lambda}) \omega'(\sigma); \quad \varepsilon_\lambda^* + i V^* = (\varepsilon_\lambda + i V) \omega'(\sigma);$$

$$I^*(t, \lambda) = T_\rho^*(t) - S_{\rho\lambda}^*(t) \operatorname{ctg} \frac{N(\lambda - t)}{2}; \quad J^*(t, \lambda) = S_{\rho\lambda}^*(t) + T_\rho^*(t) \operatorname{ctg} \frac{N(\lambda - t)}{2};$$

$$l_1 = a^2 \sin^2 \lambda - b^2 \beta_1 \beta_2 \cos^2 \lambda; \quad l_2 = a \sin^2 \lambda - b \cos^2 \lambda;$$

$$\tilde{\varepsilon}_\lambda^0 = p \left[ l_2 + b(\beta_1 \beta_2) \sin^2 \lambda \right] + q \beta_1 \beta_2 \left[ a(\beta_1 + \beta_2) \cos^2 \lambda - l_1 \right]; \quad (2)$$

$$\tilde{V}^0 = \left\{ p \left[ a + b(\beta_1 + \beta_2 + \beta_1 \beta_2) \right] - q \beta_1 \beta_2 \left[ a(1 + \beta_1 + \beta_2) + b \beta_1 \beta_2 \right] \right\} \sin \lambda \cos \lambda;$$

$\beta_1, \beta_2$  – корені характеристичного рівняння [4];

$$\omega(\xi) = R_0 \left( \xi + \frac{\varepsilon}{\xi} \right) \quad (3)$$

– функція, яка реалізує конформне відображення нескінченної площини  $\xi = \rho e^{i\lambda}$  з одиничним круговим отвором, контур якого  $\gamma$ , на область, яку займає пластинка;  $R_0$ ,  $\varepsilon$  – характерний розмір еліпса і його ексцентриситет;  $R_0 = \frac{a+b}{2} = 1$ ;  $a = 1 + \varepsilon$ ,  $b = 1 - \varepsilon$  – півосі еліпса;  $\gamma_1 \equiv [\alpha_0; \beta_0] \cup [\pi + \alpha_0; \pi + \beta_0]$  – образ зони  $\Gamma_1$  при відображенні (3);  $\sigma = e^{i\lambda}$ ;  $i = \sqrt{-1}$ .

Компоненти напружено-деформованого стану на контурі  $\Gamma$  через величини, відзначені зірочками, визначаються за формулами [2, 5], які після певних перетворень можна записати так

$$T_\rho = \frac{\alpha T_\rho^* + \beta S_{\rho\lambda}^*}{\alpha^2 + \beta^2}; \quad S_{\rho\lambda} = \frac{\alpha S_{\rho\lambda}^* - \beta T_\rho^*}{\alpha^2 + \beta^2}; \quad \varepsilon_\lambda = \frac{\alpha \varepsilon_\lambda^* + \beta V^*}{\alpha^2 + \beta^2}; \quad V = \frac{\alpha V^* - \beta \varepsilon_\lambda^*}{\alpha^2 + \beta^2}; \quad (4)$$

$$T_\lambda = -\frac{(1+\beta_1)(1+\beta_2)}{4\Delta_1\Delta_2} \left[ (l_1 l_2 + (a+b)l_4 \sin^2 \lambda \cos^2 \lambda) R_1 + ((a+b)l_1 - l_2 l_4) \sin \lambda \cos \lambda R_2 \right] -$$

$$-\frac{(1-\beta_1)(1-\beta_2)}{4\Delta_1\Delta_2} \left[ (l_4(b-a) \sin^2 \lambda \cos^2 \lambda - l_1 l_3) \tilde{R}_3 + (l_4 l_3 + (b-a)l_1) \sin \lambda \cos \lambda \tilde{R}_4 \right] + T_\lambda^0.$$

Тут

$$T_\lambda^0 = \frac{l_3}{\Delta_1\Delta_2} \left[ p(l_1 + l_4 \sin^2 \lambda) + q\beta_1\beta_2(l_4 \cos^2 \lambda - l_1) \right]; \quad \alpha + i\beta = \omega'(\sigma);$$

$$l_3 = a \sin^2 \lambda + b \cos^2 \lambda; \quad l_4 = ab(\beta_1 + \beta_2); \quad \Delta_j = a^2 \sin^2 \lambda + b^2 \beta_j^2 \cos^2 \lambda; \quad (j=1, 2);$$

$$R_1 = -2T_\rho^* + \frac{N}{\pi} \oint_\gamma I^*(t, \lambda) dt; \quad R_2 = -2S_{\rho\lambda}^* + \frac{N}{\pi} \oint_\gamma J^*(t, \lambda) dt; \quad R_3 = 4T_\rho^* - R_1; \quad (5)$$

$$R_4 = 4S_{\rho\lambda}^* + R_2; \quad \tilde{R}_3 = R_3 \cos 2\lambda + R_4 \sin 2\lambda; \quad \tilde{R}_4 = R_4 \cos 2\lambda - R_3 \sin 2\lambda.$$

У співвідношеннях (1), (2), (4) здійснено граничний перехід від ортотропного до ізотропного матеріалу при  $\beta_1 = \beta_2 = 1$ .

Граничні умови на ділянці підсилення  $\Gamma_1$  мають вигляд [1]

$$T_\rho = \frac{E_0 F(s)}{\tilde{\rho}} \varepsilon_\lambda; \quad S_{\rho\lambda} = -\frac{\partial}{\partial s} (\tilde{\rho} T_\rho); \quad s \in [s_0; s_1]; \quad \lambda \in [\alpha_0; \beta_0]. \quad (6)$$

Крім граничних умов повинні виконуватися умови рівноваги підсилювального стрижня

$$\int_{s_0}^{s_1} (T_\rho + i S_{\rho\lambda}) e^{i\theta} ds = 0, \quad (7)$$

які з використанням властивостей конформного відображення (3)

$$ds = |\omega'(\sigma)| d\lambda = \tilde{\rho} d\theta; \quad \frac{d\theta}{d\lambda} = \frac{1-\varepsilon^2}{\alpha^2 + \beta^2}; \quad \frac{1}{\tilde{\rho}} = \frac{1-\varepsilon^2}{|\omega'(\sigma)|^3}$$

можна записати так

$$T_\rho(\beta_0) = T_\rho(\alpha_0) = 0. \quad (8)$$

Тут  $\theta$  – кут, який утворює нормаль до контура  $\Gamma$  з віссю  $Ox$ ;  $e^{i\theta} = e^{i\lambda} \frac{\omega'(\sigma)}{|\omega'(\sigma)|}$ .

Підставляючи (1), (4) в граничні умови (6) приходимо після певних перетворень до системи двох сингулярних інтегрально-диференціальних рівнянь з ядрами Гільберта для визначення величин  $T_\rho$  та  $S_{\rho\lambda}$  в зоні підсилення

$$T_\rho(\lambda) = \Delta \frac{(1-\varepsilon^2)}{|\omega'(\sigma)|^5} \left\{ c_1(\alpha^2 + \beta^2)T_\rho(\lambda) + \frac{N}{\pi} \oint_{\gamma_1} R(\lambda, t) \left[ T_\rho(t) - S_{\rho\lambda}(t) \operatorname{ctg} \frac{N(\lambda-t)}{2} \right] dt + \right. \quad (9)$$

$$\left. + \frac{N}{\pi} \oint_{\gamma_1} Q(\lambda, t) \left[ S_{\rho\lambda}(t) + T_\rho(t) \operatorname{ctg} \frac{N(\lambda-t)}{2} \right] dt + \alpha \tilde{\varepsilon}_\lambda^0 + \beta \tilde{V}^0 \right\};$$

$$S_{\rho\lambda}(\lambda) = -\frac{(\alpha^2 + \beta^2)}{1-\varepsilon^2} \frac{\partial T_\rho(\lambda)}{\partial \lambda} - \frac{6T_\rho(\lambda)}{(1-\varepsilon^2)} \beta; \quad \lambda \in [\alpha_0; \beta_0],$$

де

$$R(\lambda, t) = c_2 \alpha(\lambda) \alpha(t) + c_4 \beta(\lambda) \beta(t) - c_3 (\alpha(\lambda) \beta(t) + \beta(\lambda) \alpha(t)); \quad \Delta = \frac{E_0 F(s)}{2 E_x h};$$

$$Q(\lambda, t) = c_4 \beta(\lambda) \alpha(t) - c_2 \alpha(\lambda) \beta(t) - c_3 (\alpha(\lambda) \alpha(t) - \beta(\lambda) \beta(t)).$$

Якщо ці величини стануть відомі, то кільцеві зусилля  $T_\lambda$  на контурі отвору визначаємо за формулою (5), а поздовжні зусилля  $V_\lambda$  в підсилювальному стрижні зі співвідношення [6, 1]

$$V_\lambda = \frac{|\omega'(\sigma)|^3}{1-\varepsilon^2} T_\rho. \quad (10)$$

Покладаючи в (9)  $\beta_1 = \beta_2 = 1$  одержимо відповідну систему рівнянь для ізотропної пластинки з еліптичним отвором [6].

**2. Наближений розв'язок задачі.** Точний розв'язок системи (9), (8) знайти неможливо. Для наближеного числового розв'язання задачі (9), (8) проведемо заміну змінних

$$\operatorname{tg} \frac{N\lambda}{2} = a_0 x + b_0; \quad \operatorname{tg} \frac{Nt}{2} = a_0 S + b_0; \quad \lambda = \frac{2}{N} \operatorname{arctg}(a_0 x + b_0); \quad t = \frac{2}{N} \operatorname{arctg}(a_0 S + b_0); \quad (11)$$

$$2a_0 = \operatorname{tg} \frac{N\beta_0}{2} - \operatorname{tg} \frac{N\alpha_0}{2}; \quad 2b_0 = \operatorname{tg} \frac{N\beta_0}{2} + \operatorname{tg} \frac{N\alpha_0}{2}$$

за допомогою якої інтеграли, що входять в (9), зведемо до стандартного  $[-1; 1]$  проміжку інтегрування

$$\frac{N}{\pi} \int_{\gamma_1} R(\lambda, t) \left[ T_\rho(t) - S_{\rho\lambda}(t) \operatorname{ctg} \frac{N(\lambda-t)}{2} \right] dt = \frac{2a_0}{\pi} \int_{-1}^1 R(\lambda, S) \frac{T_\rho(S) - (a_0 S + b_0) S_{\rho\lambda}(S)}{1 + (a_0 S + b_0)^2} dS - \quad (12)$$

$$- \frac{2}{\pi} \int_{-1}^1 R(\lambda, S) S_{\rho\lambda}(S) \frac{dS}{x-S}; \quad \frac{N}{\pi} \int_{\gamma_1} Q(\lambda, t) \left[ S_{\rho\lambda}(t) + T_\rho(t) \operatorname{ctg} \frac{N(\lambda-t)}{2} \right] dt = \frac{2}{\pi} \int_{-1}^1 Q(\lambda, S) T_\rho(S) \frac{dS}{x-S} +$$

$$+ \frac{2a_0}{\pi} \int_{-1}^1 Q(\lambda, S) \frac{S_{\rho\lambda}(S) + (a_0 S + b_0) T_\rho(S)}{1 + (a_0 S + b_0)^2} dS; \quad \lambda \in [\alpha_0; \beta_0]; \quad x \in [-1; 1].$$

Підставляючи (11), (12) в (9), одержимо

$$T_\rho(x) = \Delta \frac{(1-\varepsilon^2)}{|\omega'(\sigma)|^5} \left[ \alpha \tilde{\varepsilon}_\lambda^0 + \beta \tilde{V}^0 + c_1(\alpha^2 + \beta^2)T_\rho(x) + \frac{2a_0}{\pi} \int_{-1}^1 \frac{R(\lambda, S) + Q(\lambda, S)(a_0 S + b_0)}{1 + (a_0 S + b_0)^2} T_\rho(S) dS + \right.$$

$$\left. + \frac{2a_0}{\pi} \int_{-1}^1 \frac{Q(\lambda, S) - R(\lambda, S)(a_0 S + b_0)}{1 + (a_0 S + b_0)^2} S_{\rho\lambda}(S) dS + \frac{2}{\pi} \int_{-1}^1 Q(\lambda, S) S_{\rho\lambda}(S) \frac{dS}{x-S} - \frac{2}{\pi} \int_{-1}^1 R(\lambda, S) T_\rho(S) \frac{dS}{x-S} \right];$$

$$S_{\rho\lambda}(x) = -\frac{\alpha^2 + \beta^2}{1 - \varepsilon^2} \frac{1 + (a_0 x + b_0)^2}{2a_0} N \frac{\partial T_\rho(x)}{\partial x} + \frac{6T_\rho(x)}{(1 - \varepsilon^2)} \beta; \quad \lambda \in [\alpha_0; \beta_0]; \quad x \in [-1; 1]. \quad (13)$$

$$T_\rho(-1) = T_\rho(1) = 0. \quad (14)$$

На підставі (14) наближений розв'язок системи (13) вибираємо у вигляді

$$T_\rho(x) = \sqrt{1 - x^2} \Phi_1(x); \quad S_{\rho\lambda}(x) = \frac{\Phi_2(x)}{\sqrt{1 - x^2}}; \quad x \in [-1; 1], \quad (15)$$

де  $\Phi_1(x)$ ,  $\Phi_2(x)$  – обмежені на  $[-1; 1]$  функції.

Система (13) має таку ж структуру, як і відповідна система для ізотропної пластинки [6], тому наближений її розв'язок методом колокації [5, 7, 8] переноситься без змін.

Для ортотропної пластинки з еліптичним отвором, підсиленим двома стрижнями змінного поперечного перерізу  $2h_0 b_0$ , досліджено вплив способу розміщення підсилень та ортотропії матеріалу на напружений стан на контурі отвору пластинки і в підсилювальних стрижнях.

При цьому закон зміни товщини підсилення визначався за формулою

$$b(\lambda) = \frac{b_0}{2} \begin{cases} 2, & \text{при } \lambda \in [\alpha'_0; \beta'_0]; \\ 1 + \sin \left( \pi \frac{\lambda - \frac{\alpha'_0 + \alpha_0}{2}}{\alpha'_0 - \alpha_0} \right), & \text{при } \lambda \in [\alpha_0; \alpha'_0]; \\ 1 - \sin \pi \left( \frac{\lambda - \frac{\beta'_0 + \beta_0}{2}}{\beta_0 - \beta'_0} \right), & \text{при } \lambda \in [\beta'_0; \beta_0], \end{cases} \quad (16)$$

де  $[\alpha_0; \alpha'_0]$  і  $[\beta'_0; \beta_0]$  – зони змінної жорсткості підсилювальних стрижнів.

Результати числового розрахунку при  $\alpha_0 = -\frac{\pi}{3}$ ;  $\beta_0 = \frac{\pi}{3}$ ;  $p = 0$ ;  $q = 1$ ;

$\frac{E_0}{\sqrt{E_x E_y}} = 1$ ;  $\frac{h_0}{h} = 1$ ;  $\frac{b_0}{R_0} = 0.05$ ;  $\alpha'_0 - \alpha_0 = \beta_0 - \beta'_0 = \frac{\pi}{6}$  наведено на рис.2 і рис.3

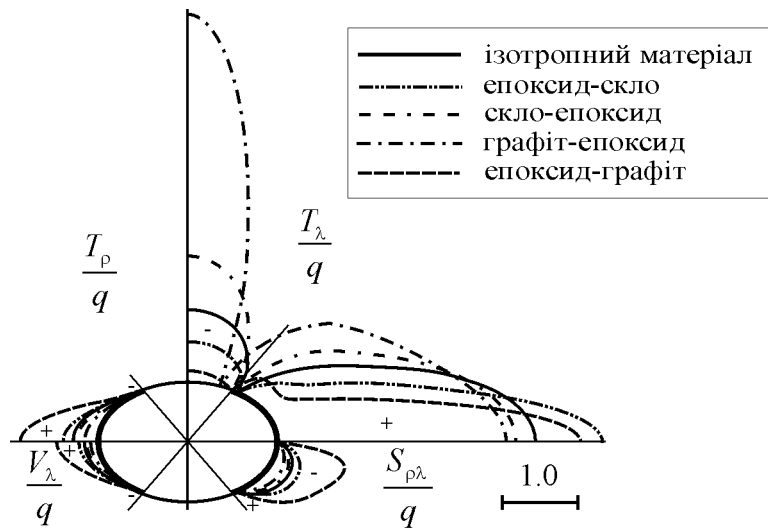


Рис.2. Розподіл зусиль на контурі отвору і в підсилювальному стрижні ( $\varepsilon = 0.2$ )

На рис. 4 подано аналогічні графіки для кільцевих зусиль на непідсиленому отворі з такими ж параметрами.

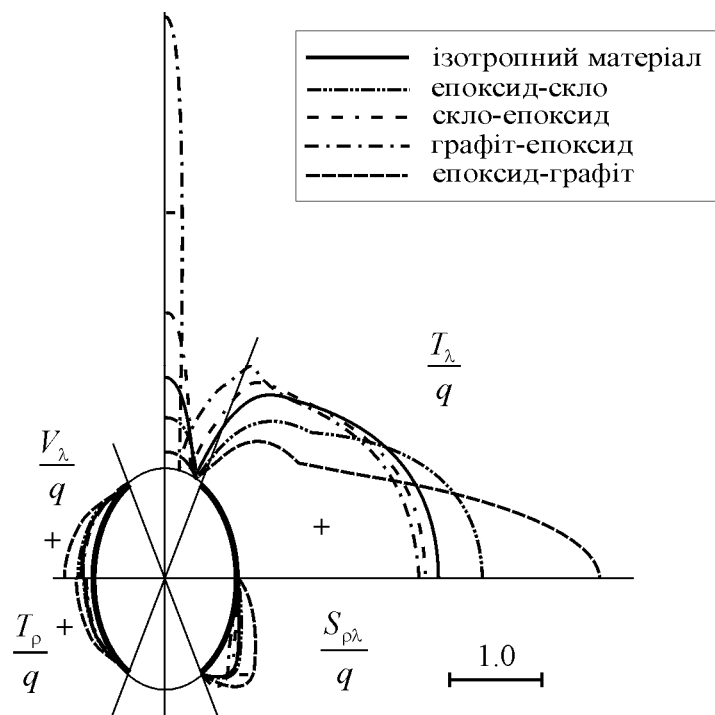
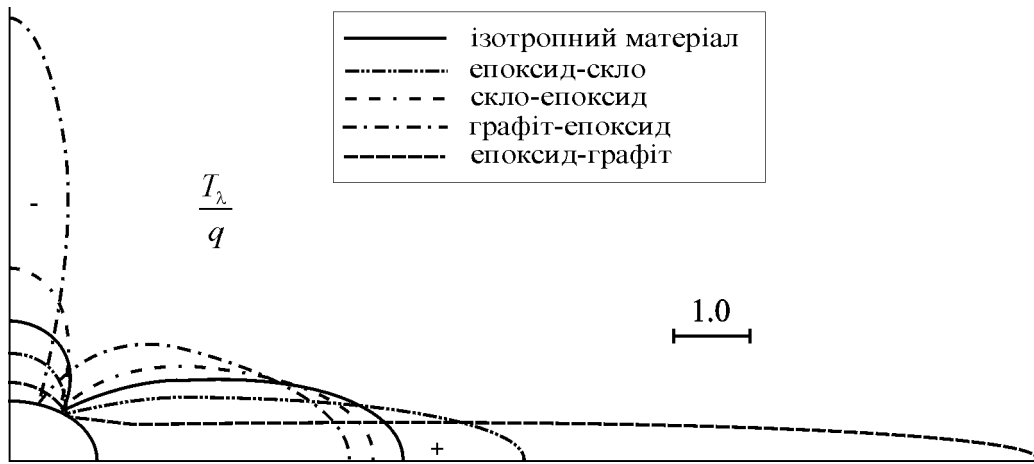


Рис.3. Розподіл зусиль на контурі отвору і в підсилювальному стрижні ( $\varepsilon = -0.2$ )

Рис.4. Розподіл зусиль на контурі невідсиленого отвору ( $\varepsilon = 0.2$ )

Характеристики досліджуваних матеріалів наведені в таблиці 1.

Таблиця 1

Матеріал пластинки	$\beta_1$	$\beta_2$	$\nu_x$	$E_x/E_y$
ізотропний матеріал	1	1	0.300	1
скло-епоксид	2.2712	0.7626	0.250	3
графіт-епоксид	6.9992	0.7144	0.250	25
епоксид скло	0.4400	1.3100	0.083	1/3
епоксид-графіт	0.1430	1.4010	0.010	1/25

Всі обчислення проведені для різних значень  $N_0$  до  $N_0 = 48$ . Відзначимо, що результати розрахунку не змінюються, починаючи з  $N_0 = 32$ .

Аналізуючи результати числового розрахунку напружено-деформованого стану на контурі отвору пластинки і в підсилювальних стрижнях приходимо до таких **висновків:**

Анізотропія матеріалу пластинки суттєво впливає на розподіл зусиль по контуру отвору. При цьому із збільшенням відношення  $E_x/E_y$  максимальні значення  $T_\lambda$  різко зростають. Як показують графіки на рис. 2 і 4 ці зусилля можна ефективно зменшити шляхом підсилення небезпечних ділянок стрижнями змінної жорсткості. На відміну від стрижнів сталої жорсткості в околі торців підсилення кільцеві зусилля змінюються плавно. За межами зони підсилення напружений стан пластинки несуттєво залежить від жорсткості стрижня.

*The problem about a partial reinforcement of an elliptic orifice in an orthotropic plate by one surveyed or two is central by symmetric thin elastic isotropic rods of a variable rigidity. Introducing components of a strain of an orifice of a plate by the way of integrated associations on components of a state of stress, the system of two singular integrally - differential equations with cores of Hilbert concerning contact gains is obtained. The approximate numerical solution of a system is implemented by a method of a boundary collocation, which one defines a state of stress on a contour of an orifice of a plate and in substantiating rods and the influence to it of an anisotropy of a material is explored.*

### Література

1. Пелех Б.Л., Сяський А.А. Распределение напряжений возле отверстий в податливых на сдвиг анизотропных оболочках. – К.: Наукова думка, 1975. – 200 с.
2. Сяський В.А. Контактные взаимодействия пластин с разомкнутыми криволинейными упругими элементами: Дис... канд. фіз.-мат. наук: 01.02.04. – Львів., 1986. – 158с.

3. Сяський А.О. Тиск жорсткого диска на еліптичний отвір ортотропної полімерної пластинки // Фізика конденсованих високомолекулярних систем. Наукові записки Рівненського державного гуманітарного університету. – Вип. 7. – 1999. – С. 46-50.
4. Лехницький С.Г. Анизотропные пластинки. – М.: Гостехиздат, 1957. – 464 с.
5. Мартинович Т.Л., Сяський А.А., Демчик С.П. Контактные задачи для анизотропных сред с эллиптическими границами. – Ровно, 1989. – 16 с. – Деп. в Укр НИИНТИ 12.03.1990, №463 – Ук 90.
6. Сяський А.О., Батишкіна Ю.В. Часткове симетричне підсилення криволінійного отвору в нескінченній пластинці // Вісник ТДТУ. – Вип. 2. – 2004. –
7. Каландия А.И. Математические методы двумерной упругости. – М.: Наука, 1973. – 304с.
8. Сяський А.А. Упругое равновесие пластинки с частично подкрепленным отверстием // Прикл. математика и механика. – 1986. – 50, № 2. – С. 247 – 254.

*Одержано 10.06.2004 р.*